

# Kosmologie und Astroteilchenphysik

Prof. Dr. Burkhard Kämpfer, PD Dr. Daniel Bemmerer

- Einführung in die Kosmologie
- Weltmodelle und kosmologische Inflation
- Thermische Geschichte des Universums
- Urknall-Nukleosynthese
- Dunkle Energie, dunkle Materie und die beschleunigte Expansion des Universums
- Kosmische Mikrowellen-Hintergrundstrahlung
- Supernovae als kosmische Standardkerzen
- Neutronensterne
- Entstehung und Nachweis kosmischer Strahlung
- **Altersbestimmung des Universums**
- Neutrinos aus der Sonne und ihre Oszillationen

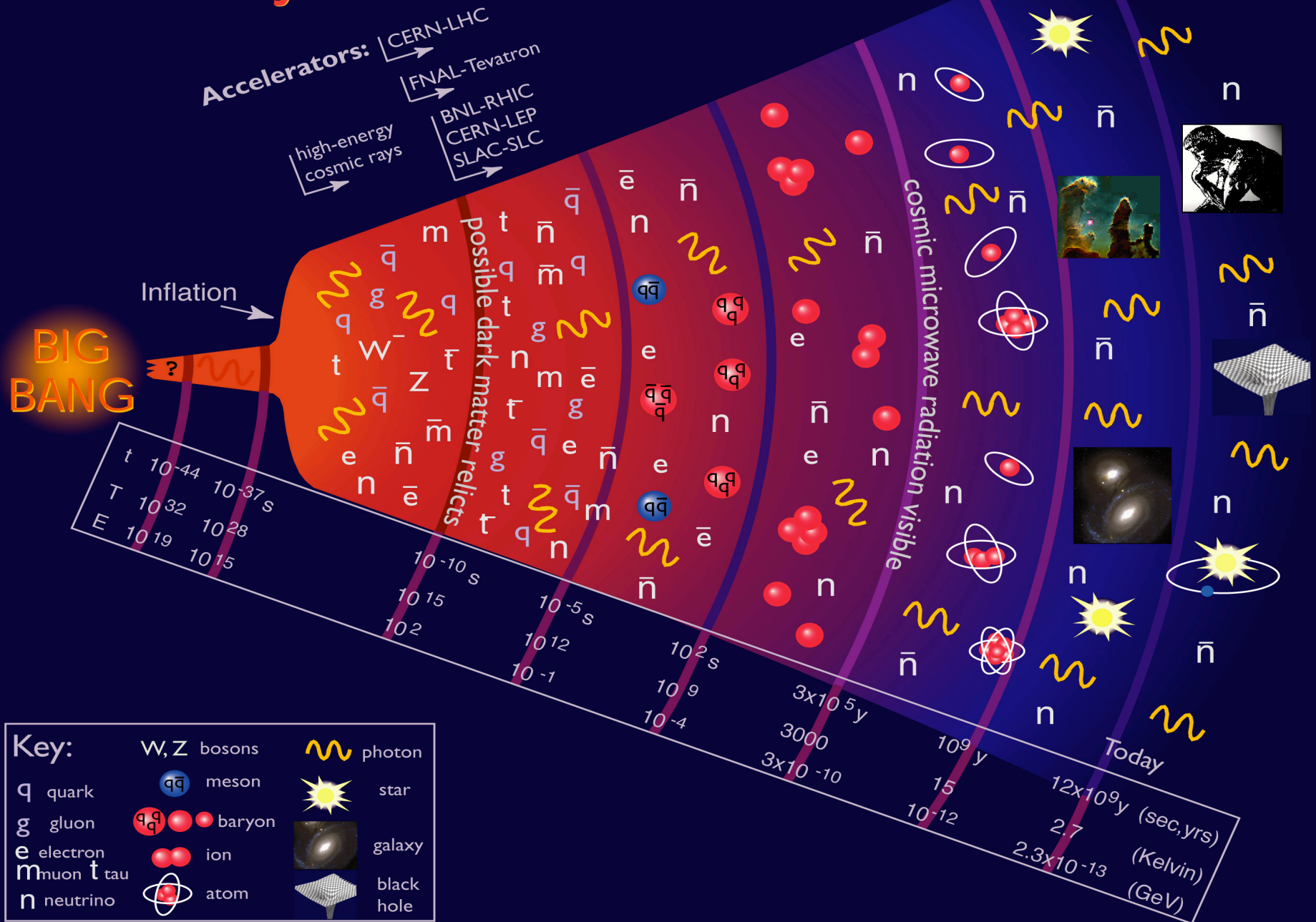
8. Vorlesung, 14.06.2017



TECHNISCHE  
UNIVERSITÄT  
DRESDEN

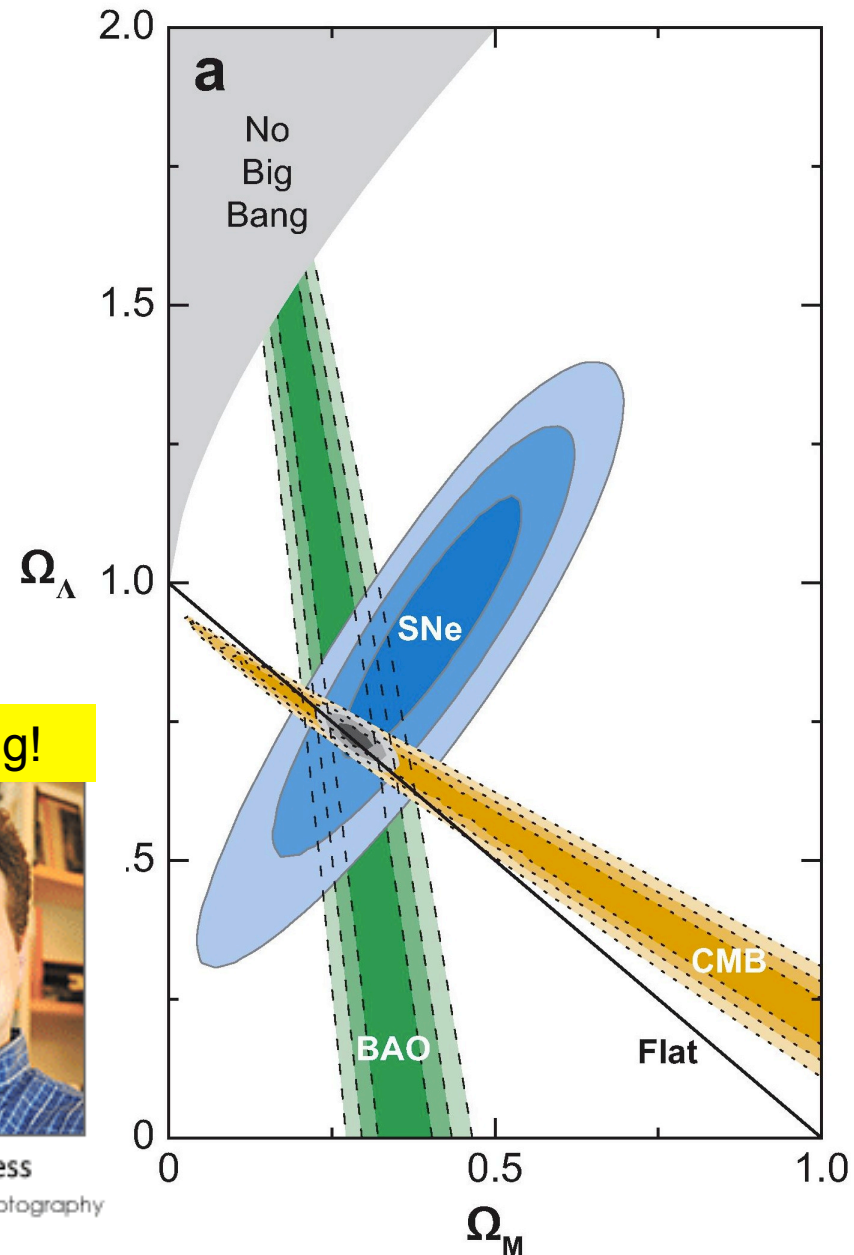
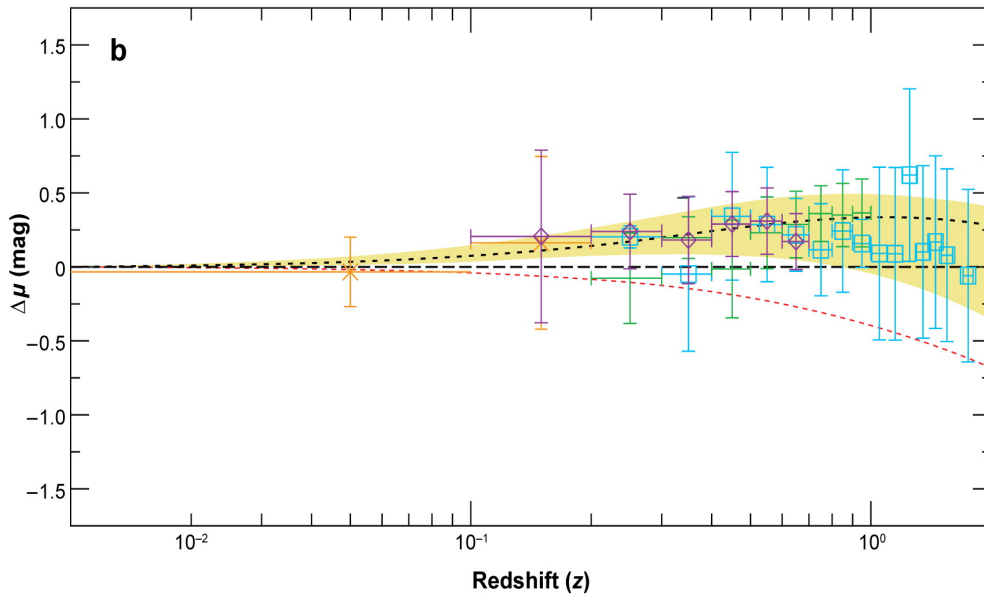


# History of the Universe





# Entfernungsmessung und Kosmologie: Supernovae vom Typ Ia



Physik-Nobelpreis 2011 für diese Entdeckung!



Saul Perlmutter

Credit: Lawrence Berkeley Nat'l Lab  
Roy Kalschmidt, photographer



Brian P. Schmidt

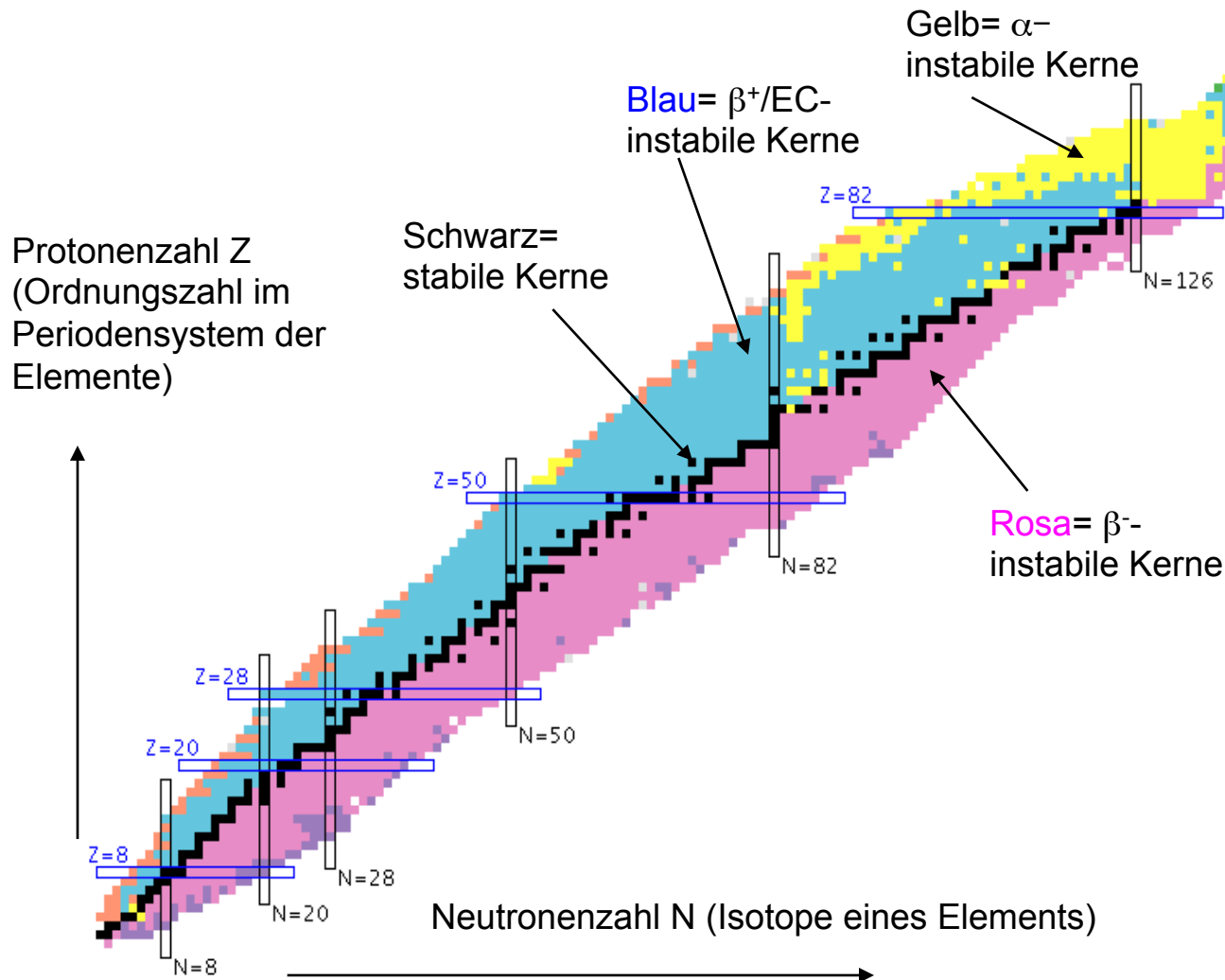
Credit: Research School of  
Astronomy and Astrophysics,  
Australian National University



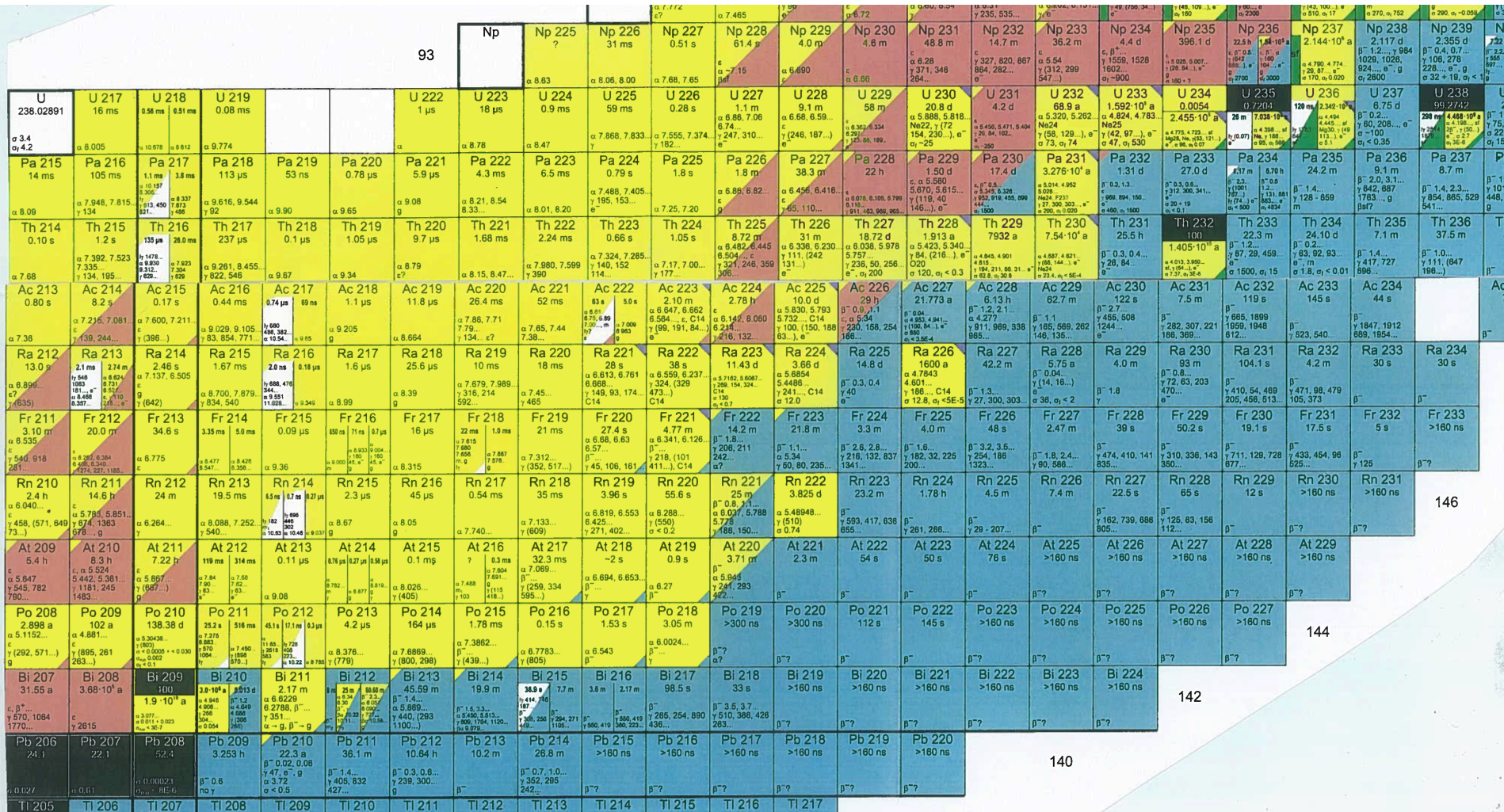
Adam G. Riess

Credit: Homewood Photography

# Nuklidkarte und Entstehung der chemischen Elemente



# Nuklidkarte am Ende des Tals der Stabilität und Nukleokosmochronologie



TECHNISCHE  
UNIVERSITÄT  
DRESDEN

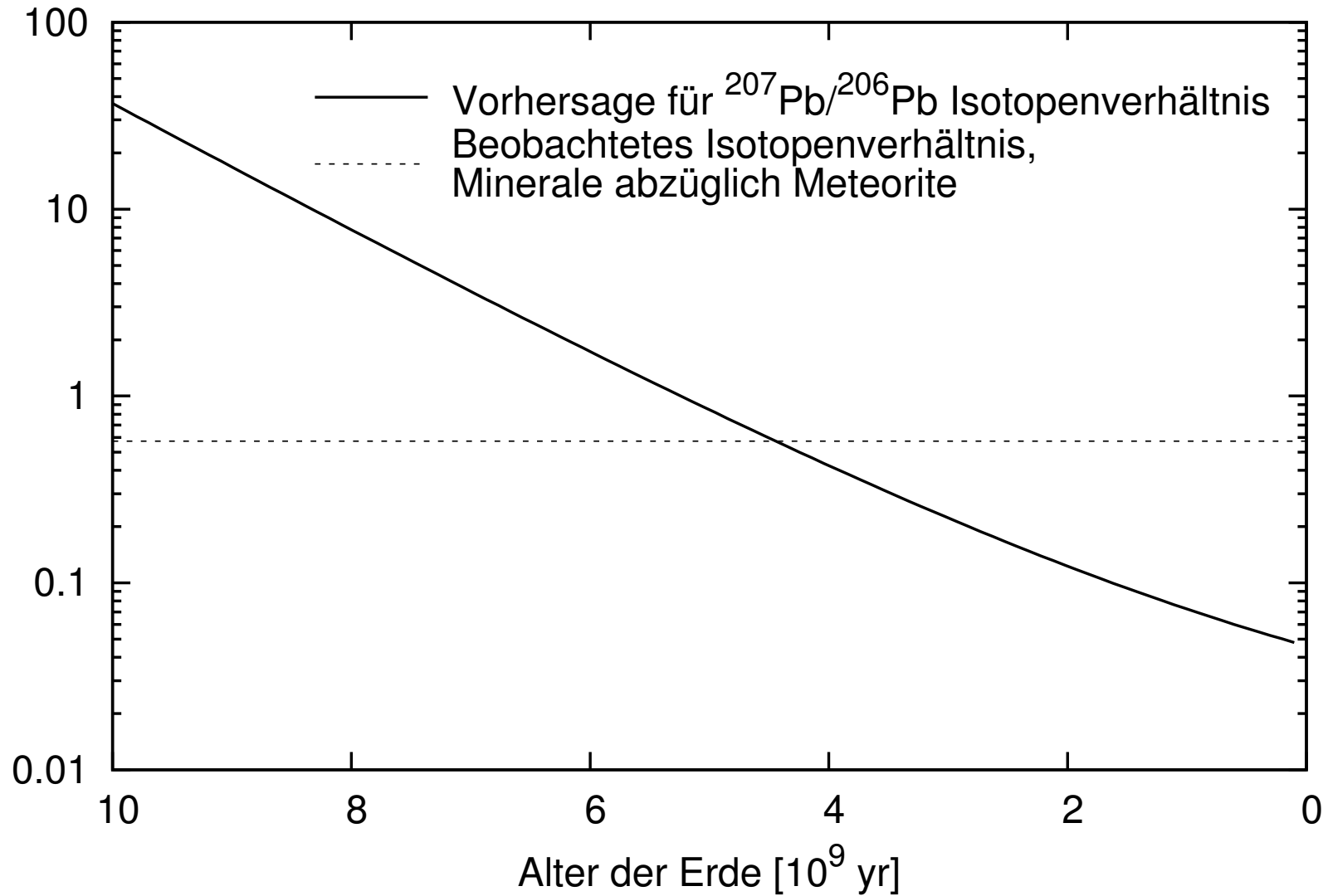
DRESDEN  
concept



HZDR



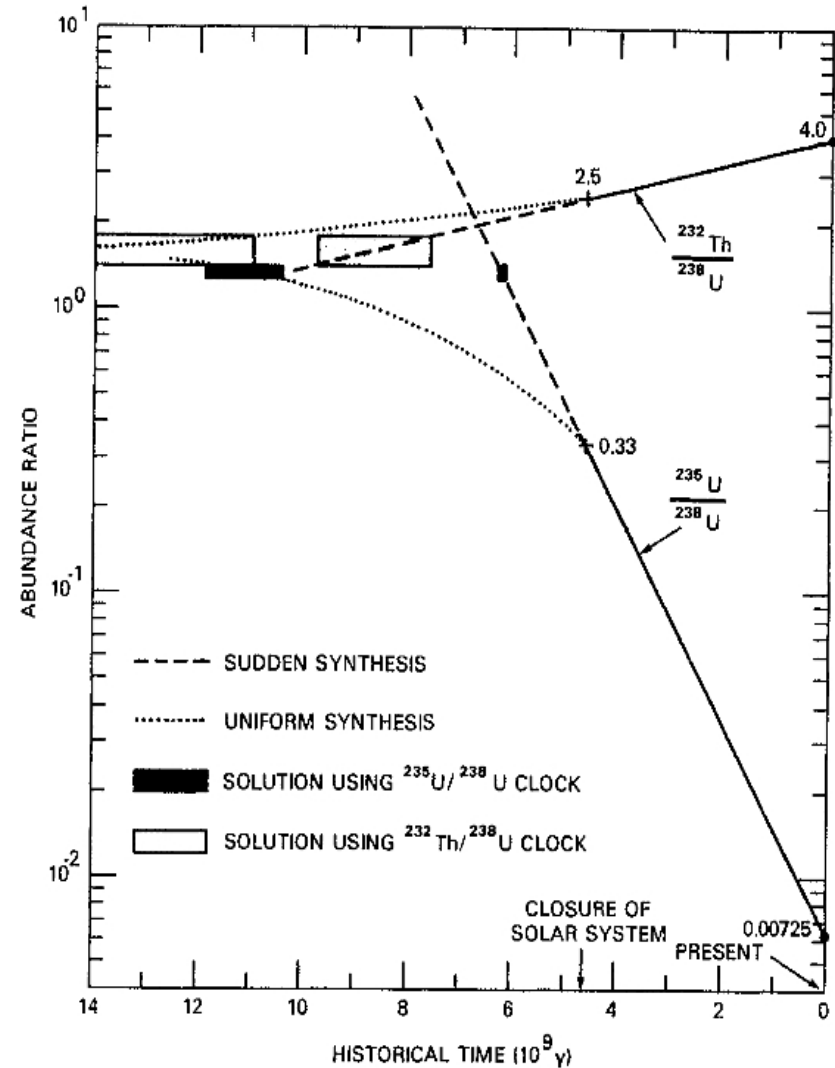
# Blei-Isotopenverhältnisse





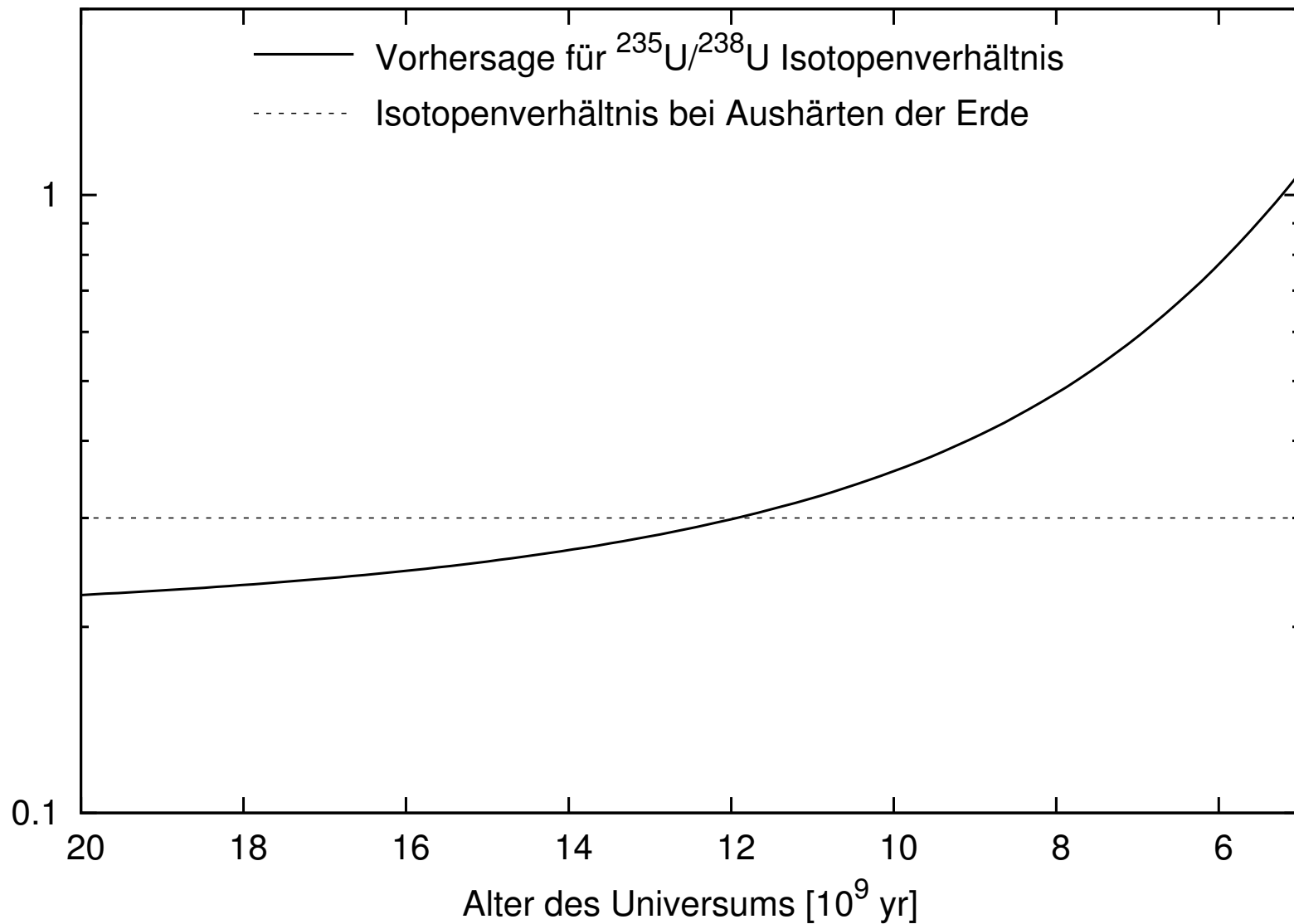
# Uran-Thorium-Uhr

9, 1528 00	U 233 92-10 <sup>3</sup> a 24, 4.783...	U 234 0.0054 2.455-10 <sup>5</sup> a	U 235 0.7204 7.038-10 <sup>8</sup> a	U 236 120 ns 2.342-10 <sup>16</sup> a	U 237 6.75 d	U 238 99.2742 4.468-10 <sup>9</sup> a	U 239 23.5
Pa 232 .31 d	Pa 233 27.0 d	Pa 234 4.17 m 6.70 h	Pa 235 24.2 m	Pa 236 9.1 m	Pa 237 8.7 m	Pa 238 2.3 m	Th 231 5.5 h
Th 231 5.5 h	Th 232 100 1.405-10 <sup>15</sup> a	Th 233 22.3 m	Th 234 24.10 d	Th 235 7.1 m	Th 236 37.5 m	Th 237 5.0 m	Ac 230 22 s
Ac 230 22 s	Ac 231 7.5 m	Ac 232 119 s	Ac 233 145 s	Ac 234 44 s	Ac 235 72 s	Ac 236 72 s	Ra 230 1600
Ra 230 1600	Ra 231 1600	Ra 232 1600	Ra 233 1600	Ra 234 1600	Ra 235 1600	Ra 236 1600	Ra 237 1600

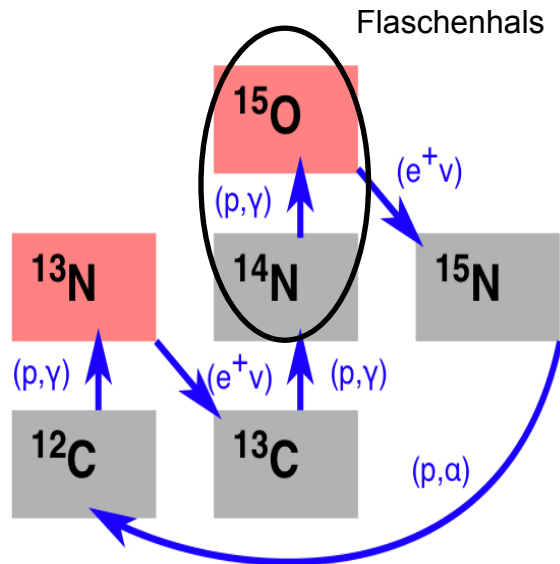


Rolf/Rodney, Cauldrons in the Cosmos, 1988

# Uran-Isotopenverhältnisse

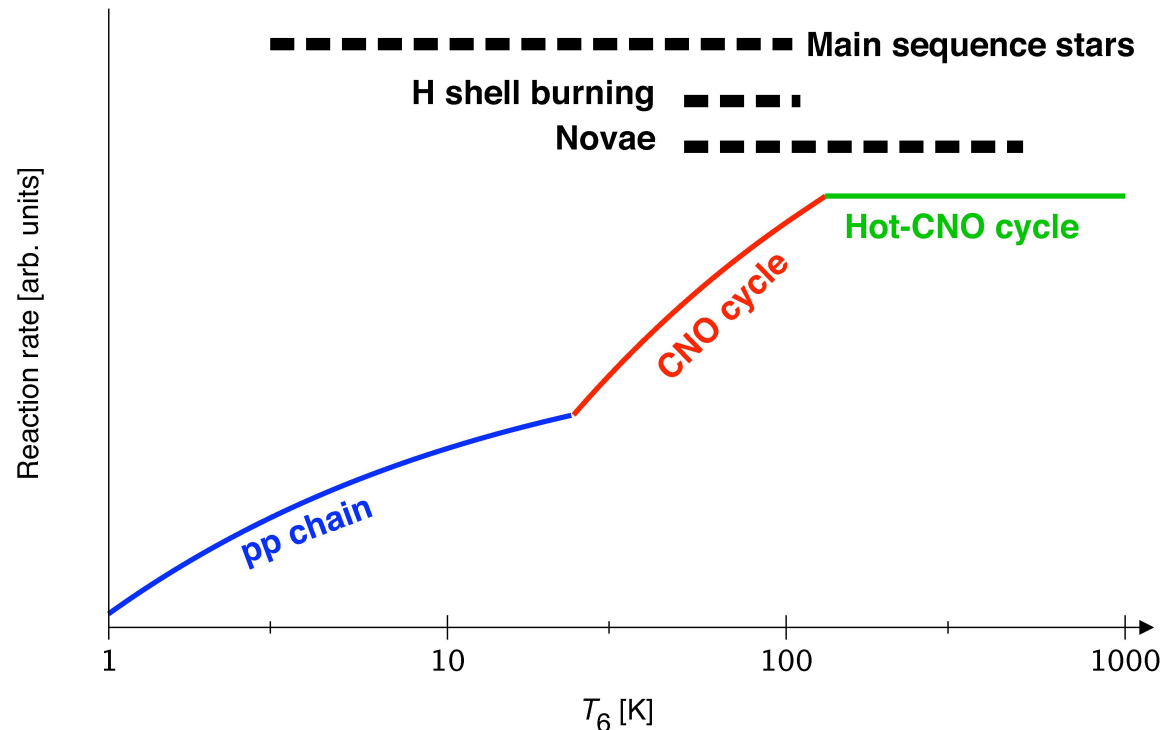


# Wasserstoffbrennen: Bethe-Weizsäcker-Zyklus (CNO-Zyklus)

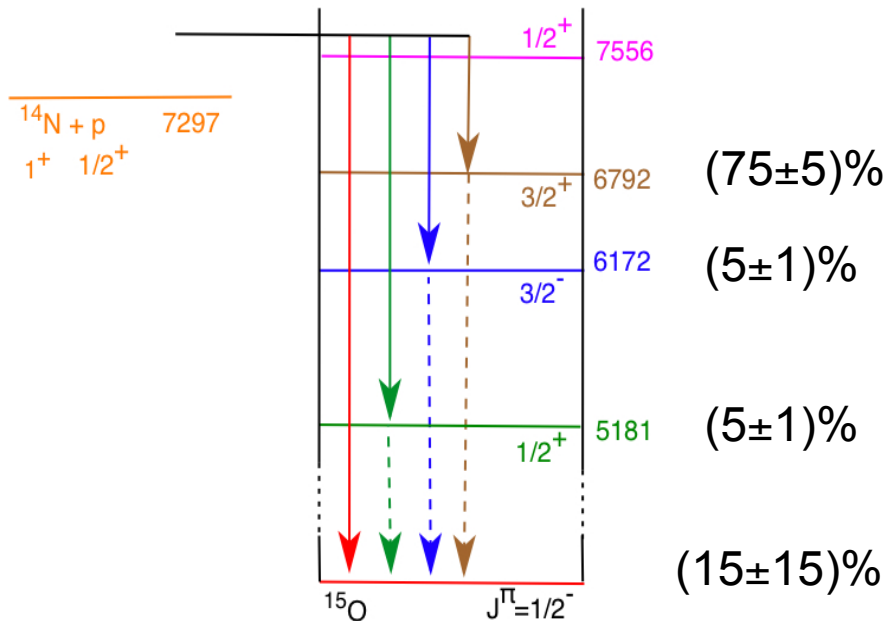


1938 postuliert

- Flaschenhals:  $^{14}\text{N}(p, \gamma)^{15}\text{O}$
- 0.8% der Energieproduktion der Sonne
- Bestimmung des Alters von Kugelsternhaufen

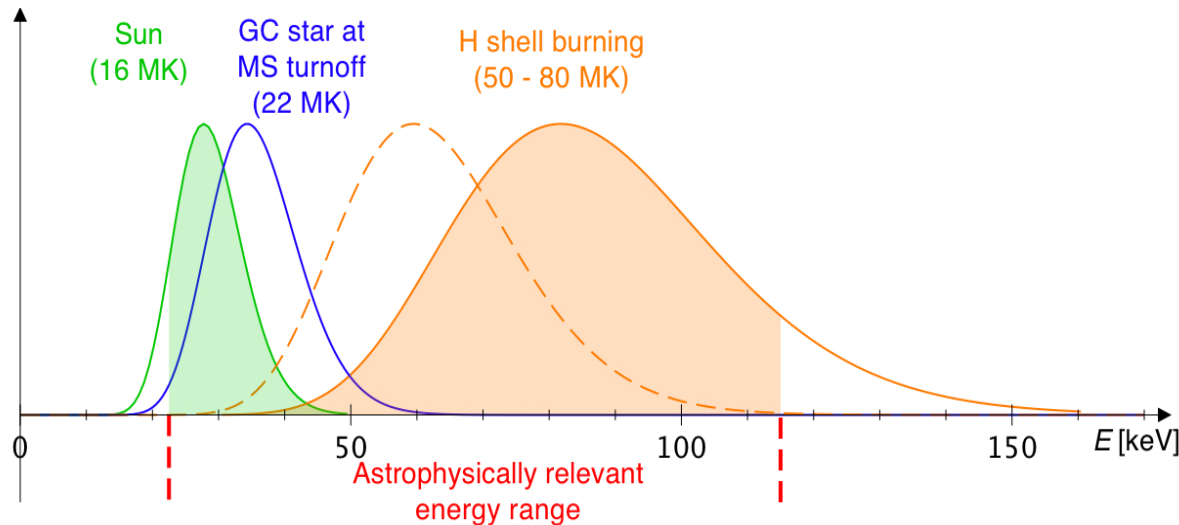


# $^{14}\text{N}(p,\gamma)^{15}\text{O}$ , wie sieht es im Detail aus?



Zwei mögliche Ansätze für Experimente

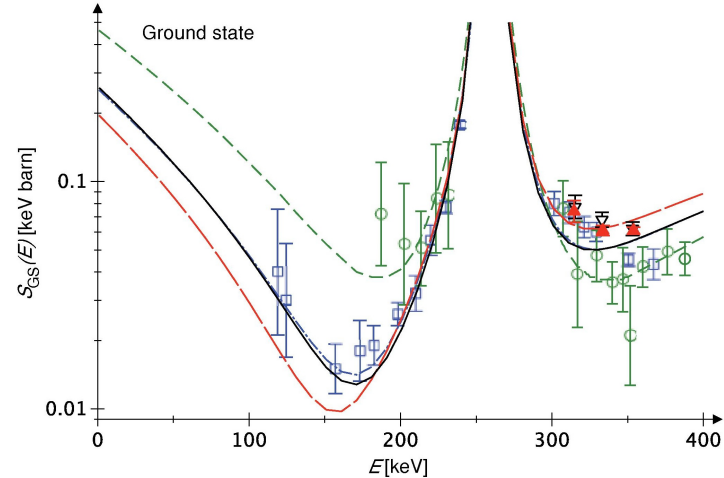
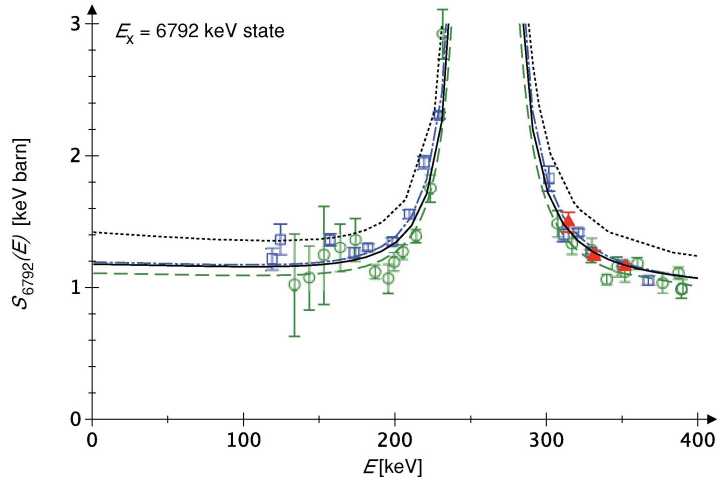
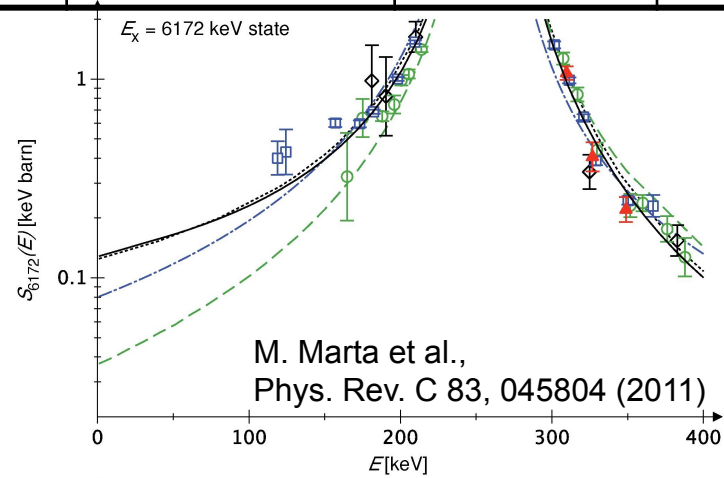
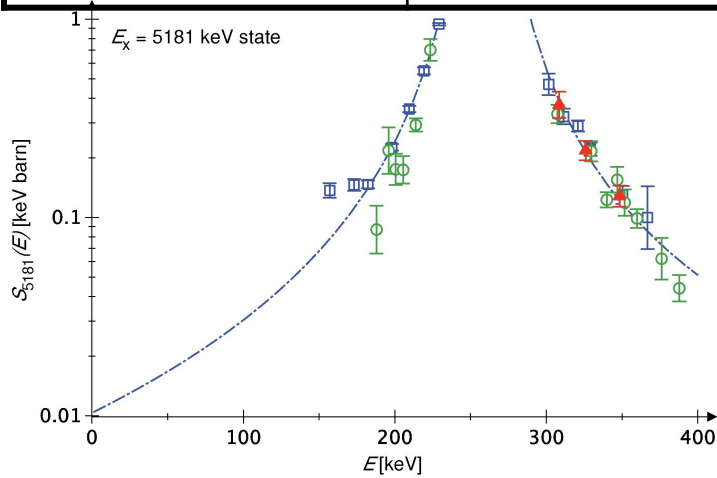
1. Untersuche Einfang in jeden Level im Einzelnen, dann extrapoliere.
2. Untersuche alle Levels gleichzeitig in einem Summendetektor, aber verzichte (gezwungenermaßen) auf die Extrapolation



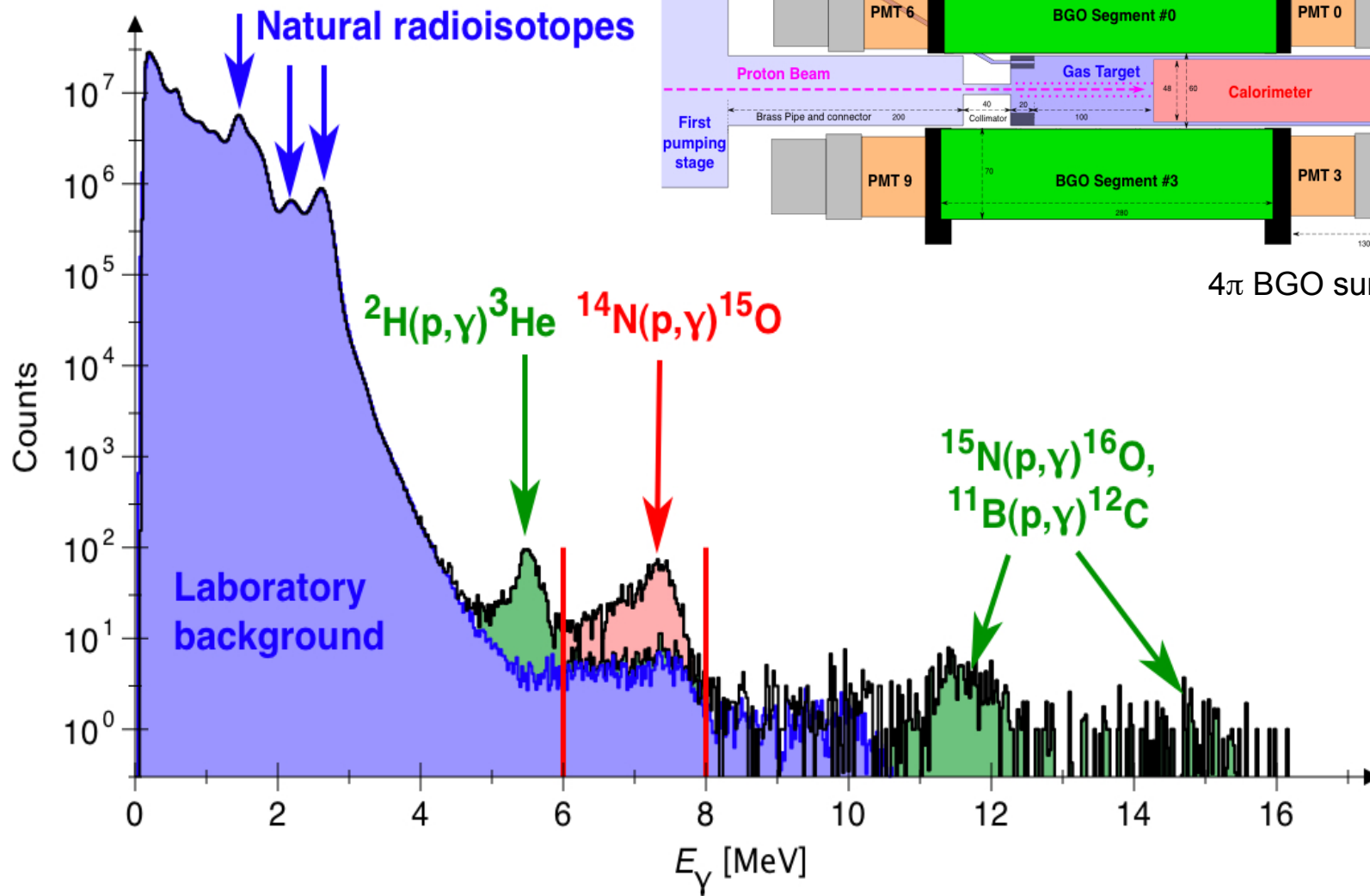


# LUNA halbierte den $^{14}\text{N}(p,\gamma)^{15}\text{O}$ -Wirkungsquerschnitt!

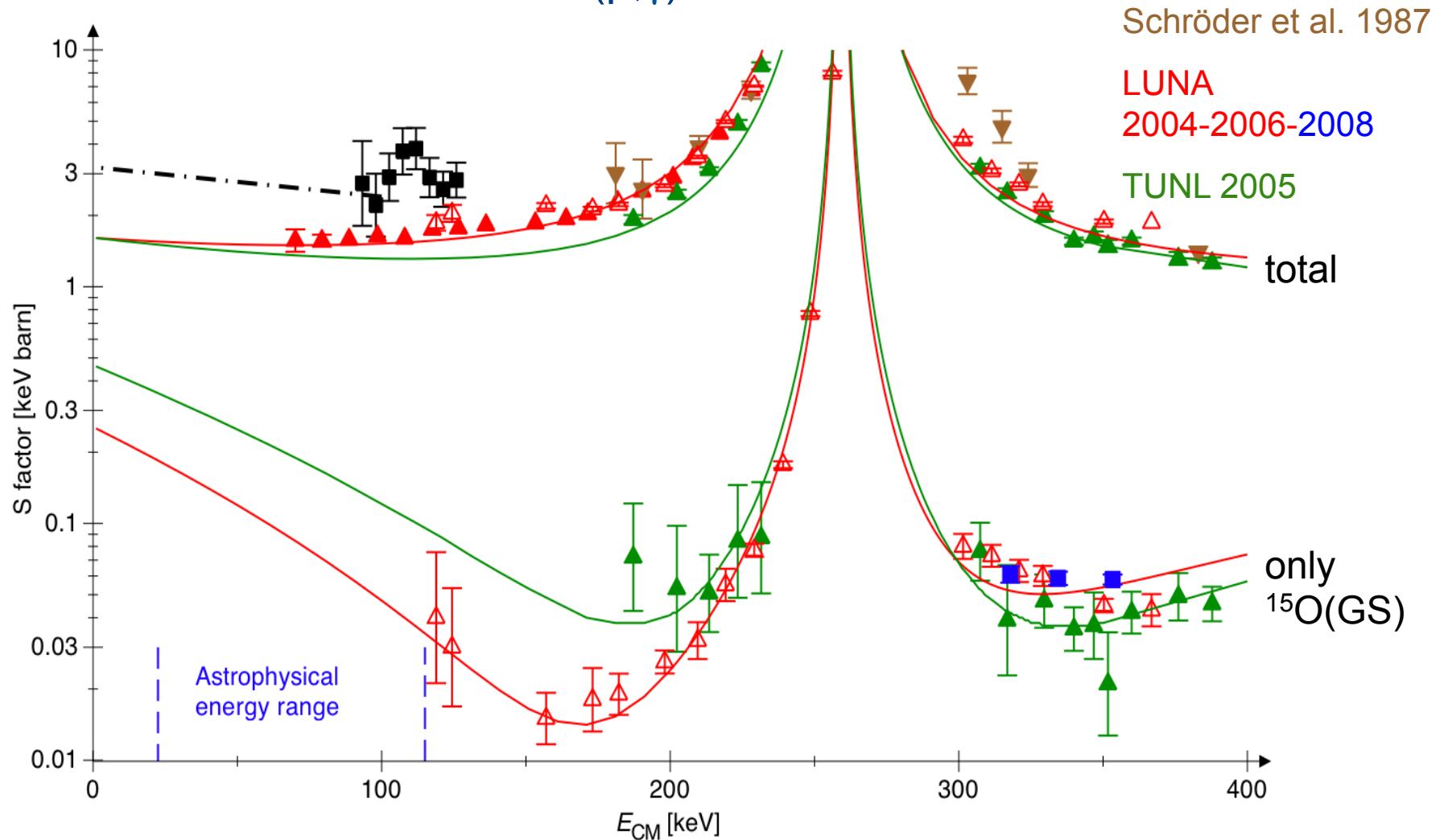
Einfang in...	NACRE compilation 1999	LUNA, phase 1 2004	TUNL 2005	LUNA, phase 3 2008+2011
... $^{15}\text{O}$ Grundzustand	$1.55 \pm 0.34$	$0.25 \pm 0.06$	$0.49 \pm 0.08$	$0.27 \pm 0.05$
... $^{15}\text{O}$ angeregte Zust.	$1.65 \pm 0.05$	$1.36 \pm 0.05$	$1.27 \pm 0.05$	$(1.39 \pm 0.05)$
S(0) in keV barn	$3.2 \pm 0.5$ (tot)	$1.6 \pm 0.2$ (tot)	$1.8 \pm 0.2$ (tot)	$1.66 \pm 0.12$ (tot)



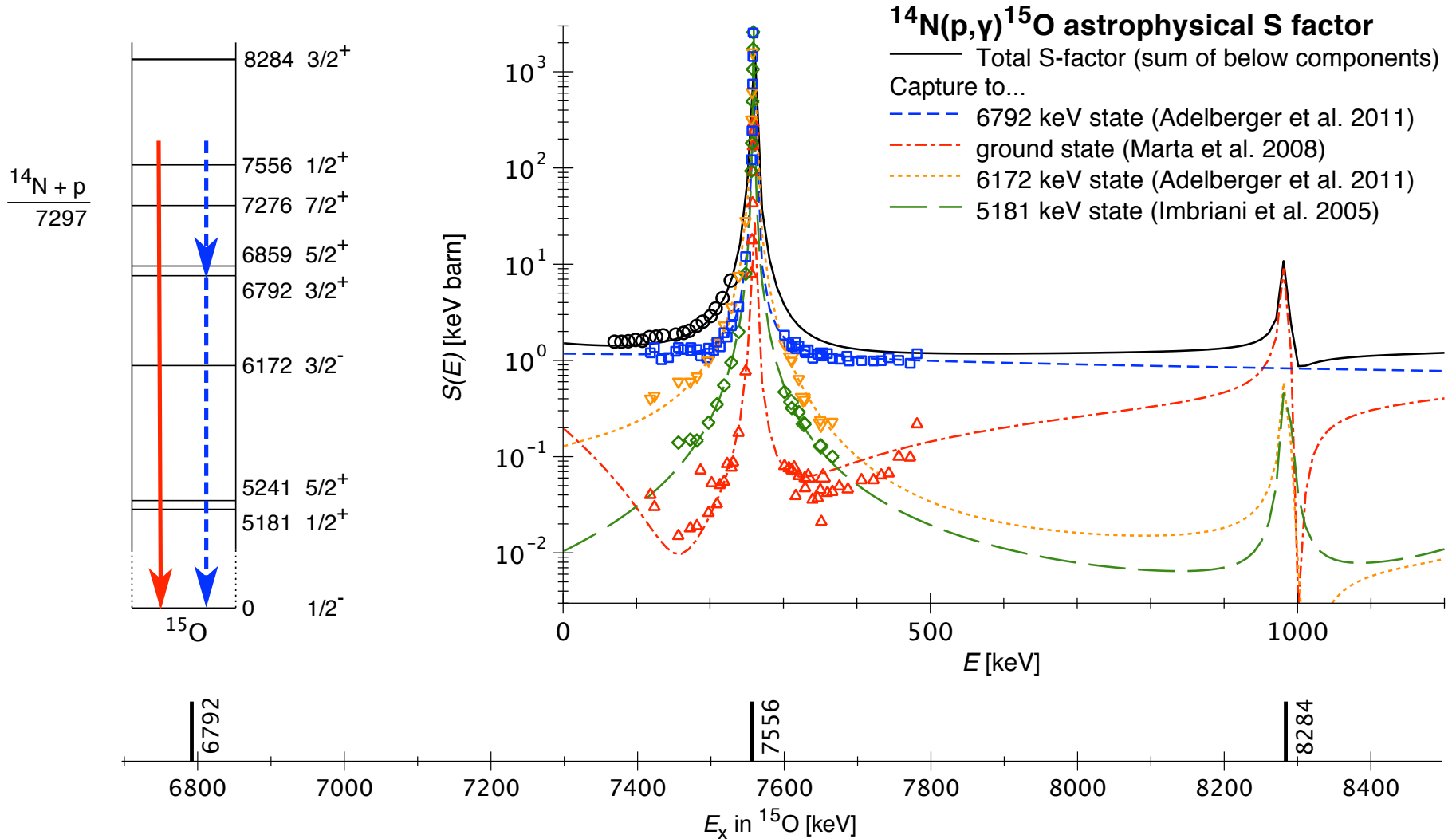
# $^{14}\text{N}(p,\gamma)^{15}\text{O}$ , Messung aller Übergänge mit einem Summendetektor



# Gesamter S-Faktor von $^{14}\text{N}(p,\gamma)^{15}\text{O}$

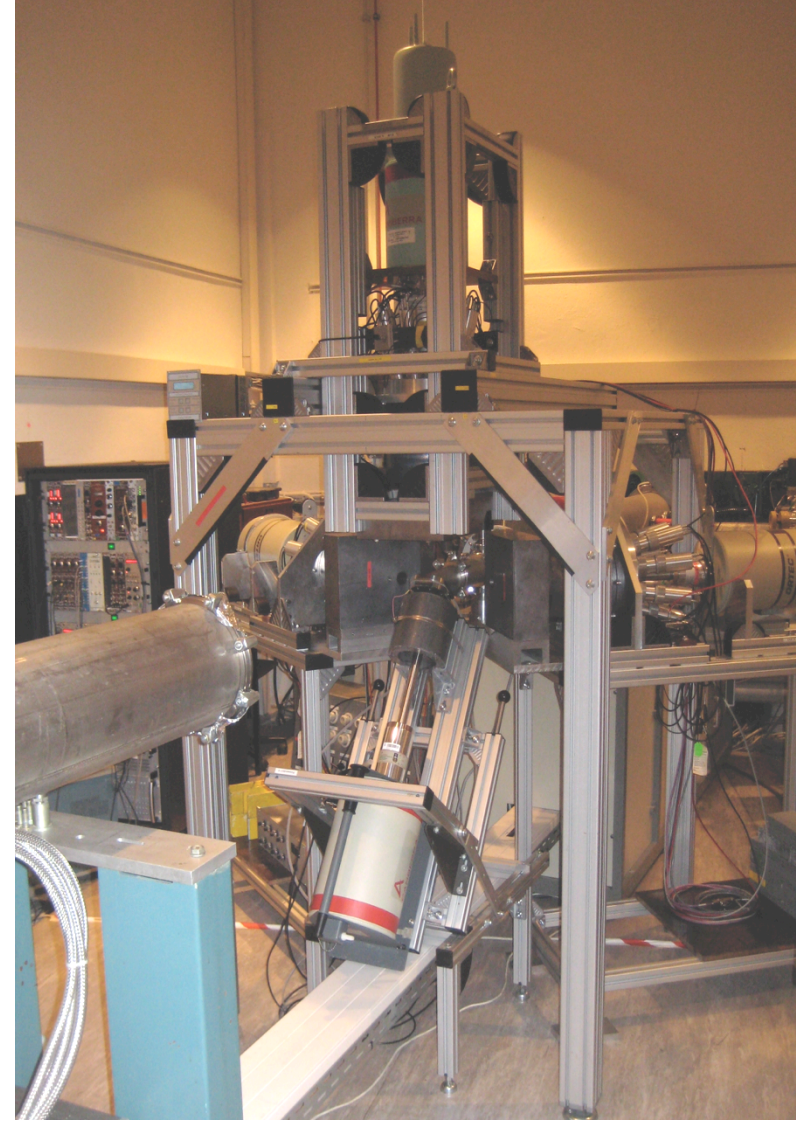


# Gesamter S-Faktor von $^{14}\text{N}(p,\gamma)^{15}\text{O}$ , über einen weiten Energiebereich

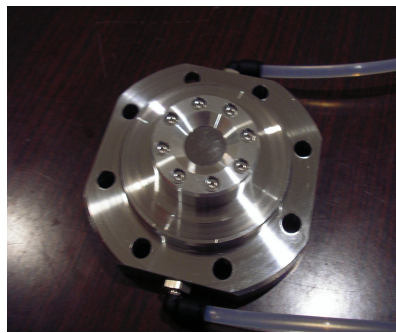




# Versuchsaufbau am HZDR Tandetron, Dresden



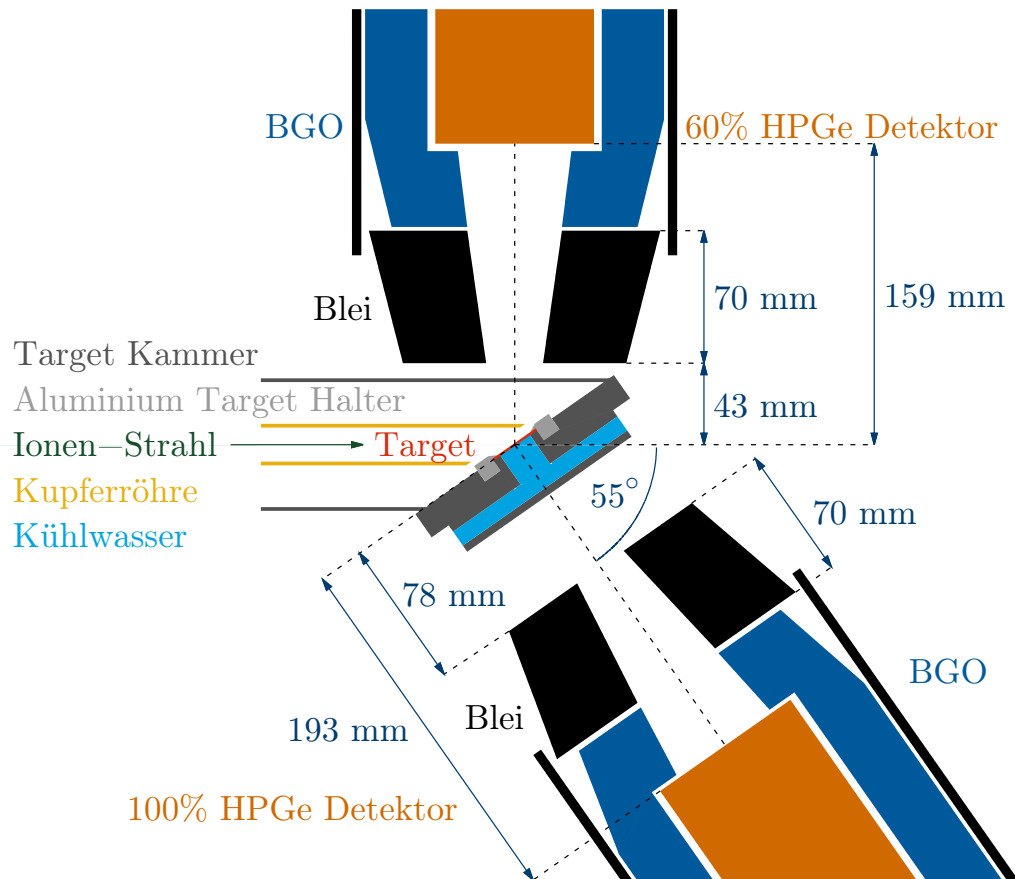
# Detektoren und Targets



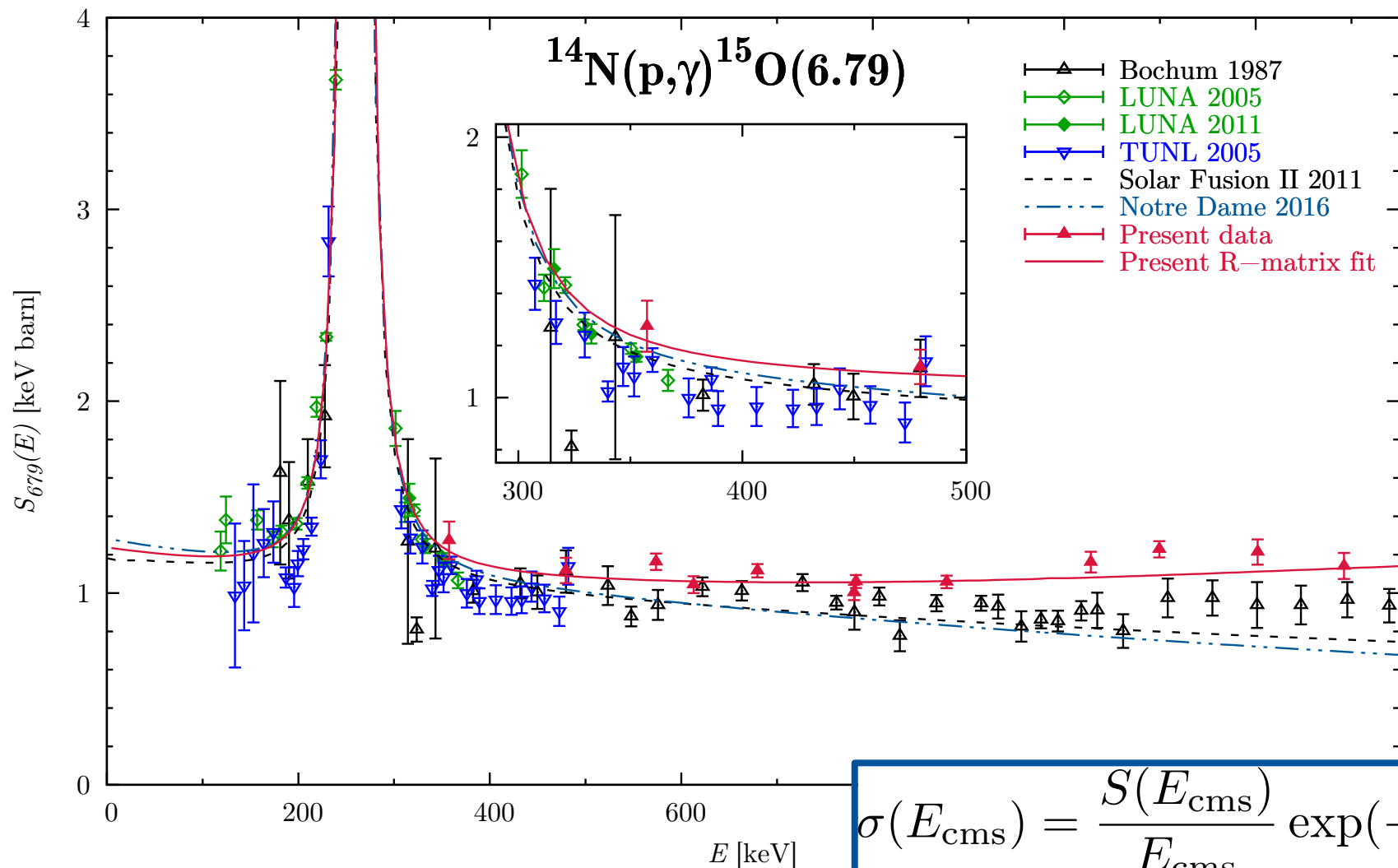
15 cm



1 cm



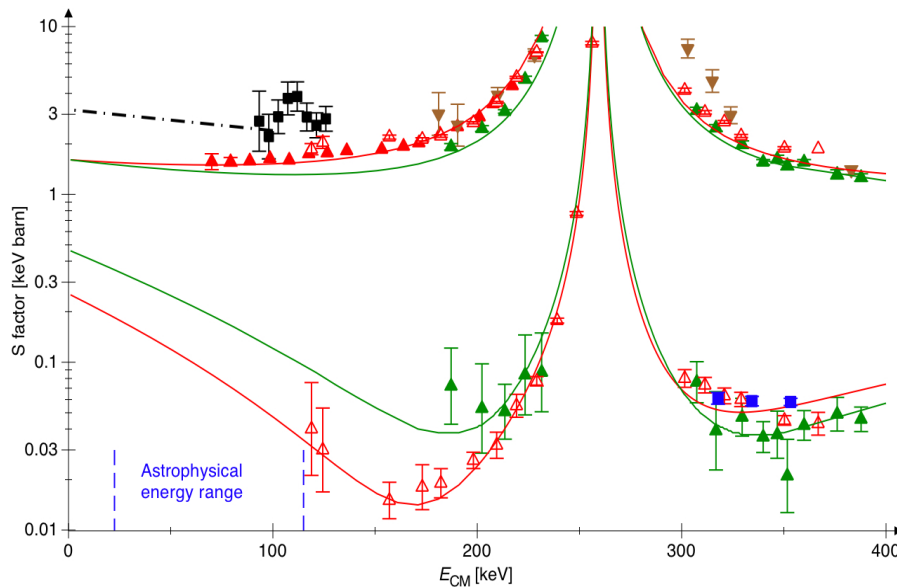
# Wirkungsquerschnitt (als S-Faktor) der $^{14}\text{N}(p,\gamma)^{15}\text{O}(6.79 \text{ MeV})$ -Reaktion



$$\sigma(E_{\text{cms}}) = \frac{S(E_{\text{cms}})}{E_{\text{cms}}} \exp(-2\pi\eta)$$

$$-2\pi\eta = -\frac{2\pi}{\hbar} \sqrt{\frac{m}{2E_{\text{cms}}}} Z_0 Z_1 e^2$$

# Auswirkungen des niedrigeren $^{14}\text{N}(p,\gamma)^{15}\text{O}$ -Wirkungsquerschnitts



$^{14}\text{N}(p,\gamma)^{15}\text{O}$  Wirkungsquerschnitt halbiert!

- A. Formicola et al., Phys. Lett. B 591, 61 (2004)
- A. Lemut et al., Phys. Lett. B 634, 483 (2006)
- M. Marta et al., Phys. Rev. C 78, 022802 (R) (2008)

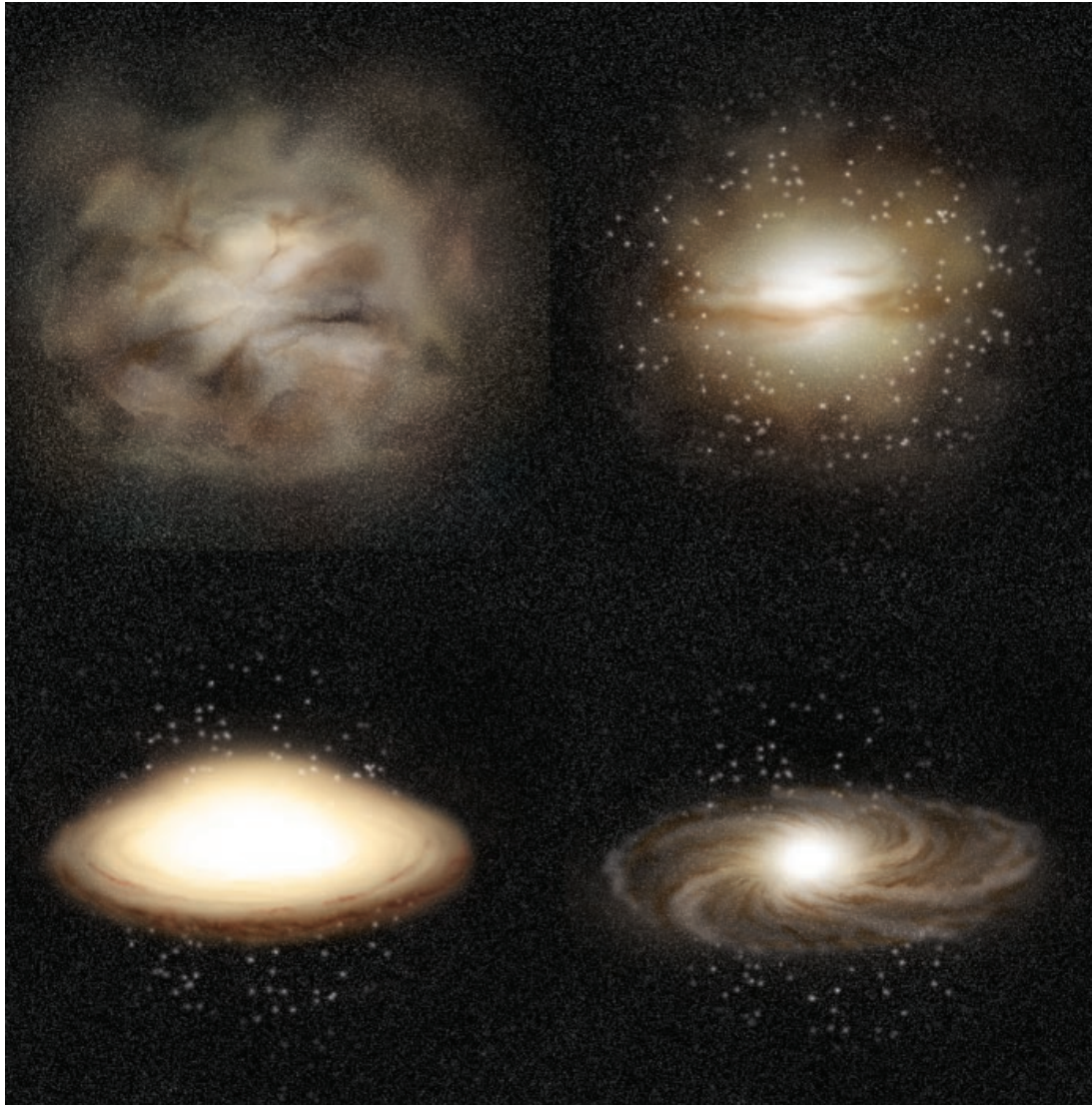
$S(0) = 3.2 \text{ keV barn (1998)}$

$\rightarrow 1.72 \pm 0.12 \text{ keV barn (2009)}$

1. Unabhängige untere Schranke für das Alter des Universums:  $14 \pm 2 \text{ Ga}$ .
2. Bessere Reproduktion der Kohlenstoffhäufigkeiten in Roten Riesen.
3. Es ist möglich, den Stickstoffgehalt im Kern der Sonne über die emittierten CNO-Neutrinos zu bestimmen.

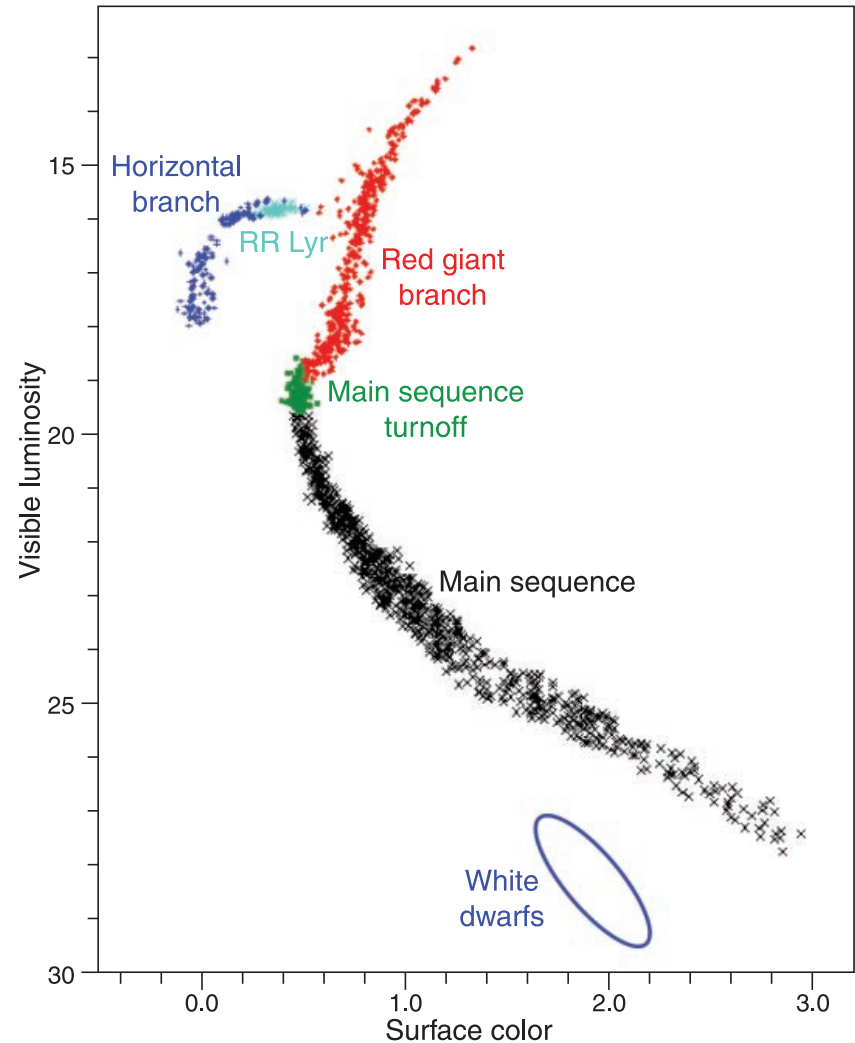
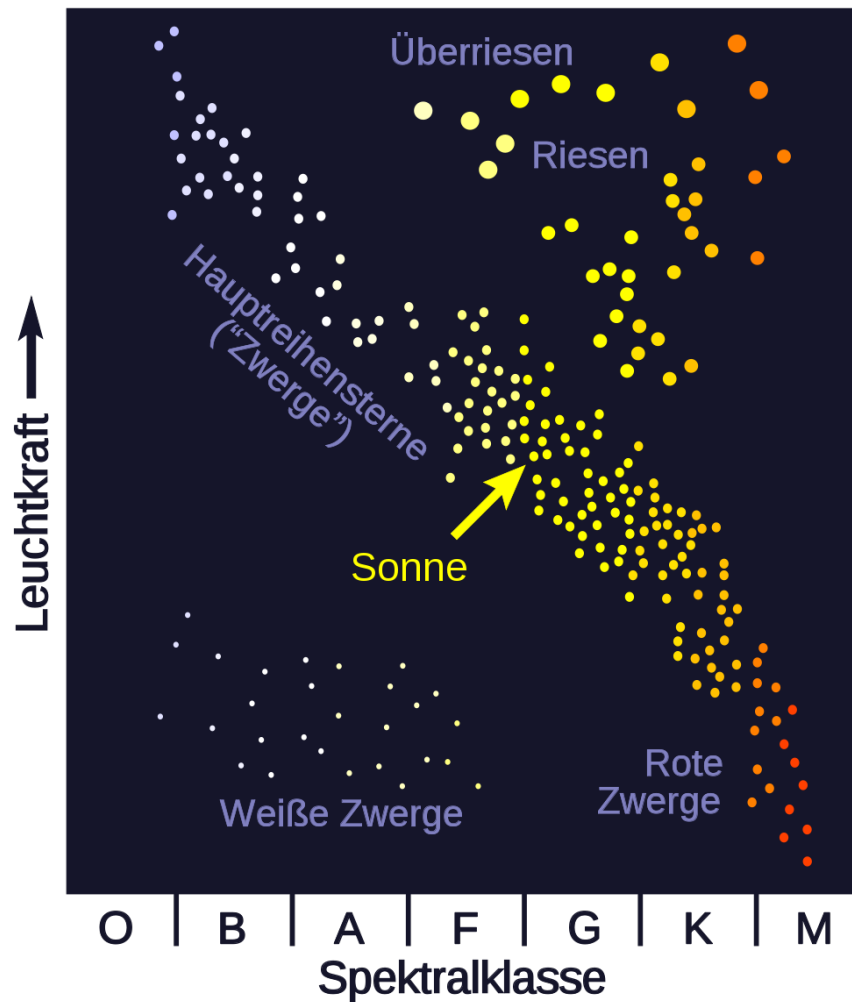


# Altersbestimmung sehr alter Sterne (in Kugelsternhaufen)



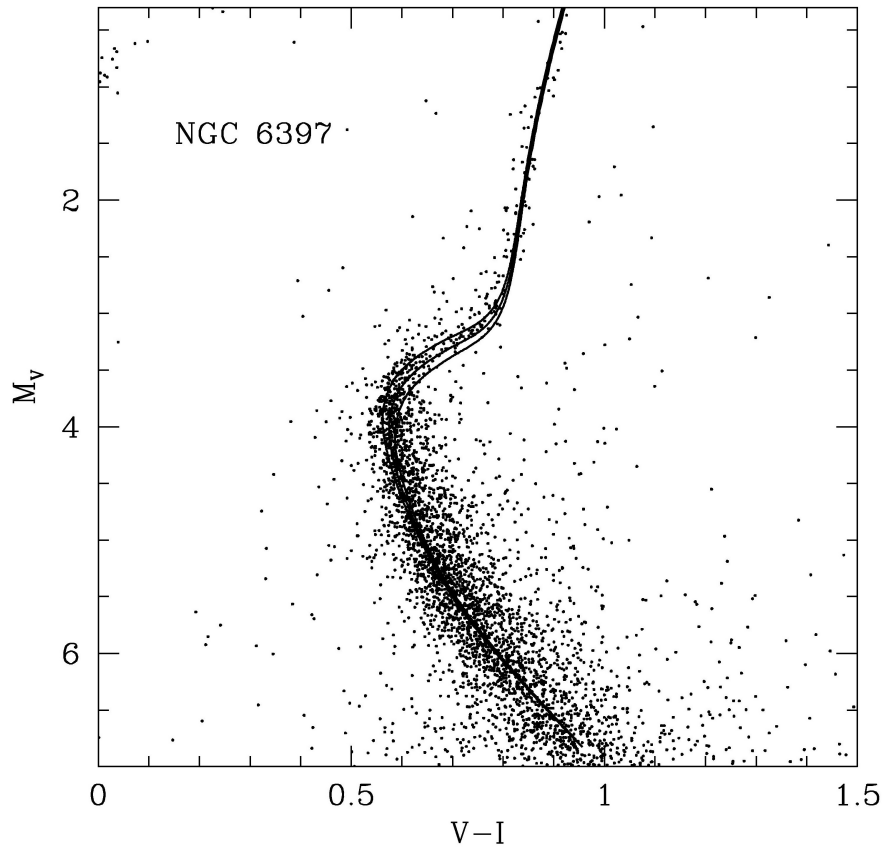
Krauss & Chaboyer (2003)

# Altersbestimmung sehr alter Sterne (in Kugelsternhaufen)

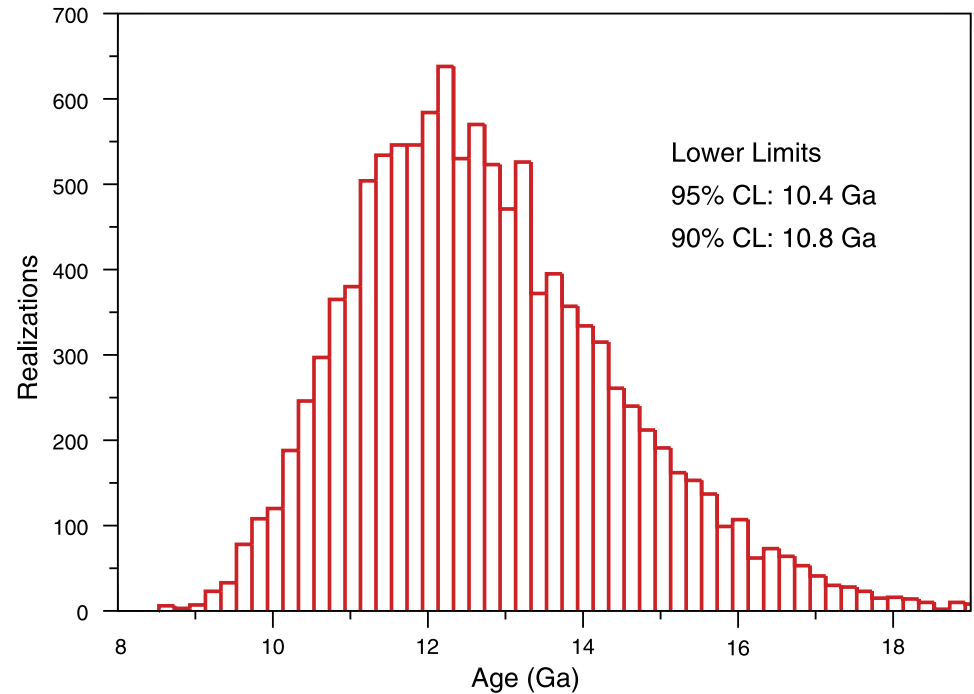


→ Hertzsprung-Russel-Diagramm, Abzweigen von der Hauptreihe Krauss & Chaboyer (2003)

# Altersbestimmung sehr alter Sterne (in Kugelsternhaufen)



Imbriani et al. (2004)



Krauss & Chaboyer (2003)

→ Hertzsprung-Russel-Diagramm, Abzweigen von der Hauptreihe

# Zusammenfassung

- Nukleokosmochronologie mithilfe von Uran und Thorium
- Bestimmung des Alters von Kugelsternhaufen mittels des CNO-Zyklus

